

에틸렌 중합을 위한 크롬-시리카촉매의 활성점

손종락·한요한

경북대학교 공과대학 공업화학과
(1988년 5월 9일 접수, 1988년 6월 16일 채택)

Active Site of Chromium-Silica Catalysts for Ethylene Polymerization

Jong Rack Sohn and Yoo Han Han

Dept. of Industrial Chemistry, College of Engineering, Kyungpook National University, Taegu 702-701, Korea

(Received 9 May 1988; accepted 16 June 1988)

요약

에틸렌을 중합하기 위하여 시리카에 담지된 크롬촉매를 혼합법, 함침법 및 공침전법으로 제조하여 촉매 활성을 조사하였다.

혼합법으로 제조된 촉매는 촉매활성을 전연 나타내지 않았으나, 함침법과 공침전법으로 제조된 촉매는 높은 촉매활성을 나타내었으며, 600°C에서 1시간 진공하였을 때 최대활성을 나타내었다.

에틸렌 중합의 촉매활성점은 촉매가 CO로 환원되는 시간에 따른 촉매활성의 변화, 환원된 촉매의 색깔의 변화 및 흡착된 NO 종의 적외선 스펙트라에 의하여 Cr³⁺ 이온으로 밝혀졌다. 촉매는 Na 이온으로 괴독되었으며 Na 이온의 농도가 20 ppm일 때 촉매활성을 완전히 잃었다.

Abstract—The Chromium catalysts supported on silica for ethylene polymerization were prepared by mixing, impregnation, and coprecipitation methods and their catalytic activities were examined. As a consequence, it was found that both of co-precipitated and impregnated catalysts were very active, but mixed catalyst exhibited little catalytic activity. Co-precipitated and impregnated catalysts showed maximum polymerization activity under evacuation at 600°C for 1hr.

The active site responsible for ethylene polymerization was proved to be Cr³⁺ ion, as evidenced by the relationship between variation of catalytic activity and CO reduction time, the color change in reduced catalyst, and the infrared spectra of adsorbed nitric oxide. The catalyst was poisoned with sodium ion and its activity decreased with increase in the amount of sodium ion until 20 ppm.

1. 序論

에틸렌의 重合觸媒로는 산화크롬系와 Ziegler-Natta系, 그리고 산화몰리브덴系의 觸媒가 널리 알려져 있으며 그 중에서도 phillips触媒로 불리우는 산화크롬-시리카触媒는 工業的으로 중요하여 많이 研究되었다[1-17, 20].

그러나, 아직까지 산화크롬-시리카触媒의 觸媒活性點과 重合活性에 대해서 报告된 바는 많으나 분명하지 않으며 또한 서로 다르게 보고되었다.

Kazansky와 Eley[5-8] 등은 산화크롬-시리카触媒를 ESR과 IR로 研究하여 에틸렌重合의 觸媒活性點은 四面體 또는 四角平面構造의 Cr⁵⁺ 이온으로 报告하였다. 그러나 Tvarůžková[9] 등은 Cr⁴⁺ 이온이 活性點

이라고 발표하였으며, Beck과 Przhevalskaya[10-12] 등은 Cr^{3+} 염으로製造된觸媒가 Cr^{2+} 염으로製造된觸媒보다活性이 더 좋다는 것과, Cr^{6+} 염에서 만들어진觸媒는 CO로 강하게還元될 때에活性이 오히려減少한다는 것을 보고하였다. 또한 산화크롬-시리카觸媒에 NO가스를吸着시킨 뒤 ESR과 IR로研究한結果 Cr^{3+} 이온이活性點이라고報告[10, 12]하였다. 그리고 Krauss와 Ghiotti[13-18] 등은 CO로觸媒를還元한 뒤 IR로研究하여 Cr^{2+} 이온이活性點이라고報告하였다.

이와같이觸媒活性點에대한報告가 서로 다른 것은活性觸媒表面의複雜性,特定酸化狀態의確認의 어려움 및活性化處理方法에 따른觸媒構造와性質의큰變化때문이다[12, 13].

산화크롬-시리카觸媒를 지금까지는含沈法으로만製造하여使用하였다. 그러나本研究에서는含沈法 이외에混合法과共沈法으로觸媒를製造하여觸媒製造方法과活性化處理方法에 따른觸媒活性을比較検討하였다. 또한 산화크롬-시리카觸媒에대한NO 및 CO吸着種의赤外線分光研究로부터活性點을밝히는데本研究의目的이있다.

2. 實驗

2-1. 촉매제조

觸媒製造用試藥은 1級試藥을精製하지 않고 그대로使用하였으며, 에틸렌은 대한유화에서 구입하여 액체질소트랩과액체질소-아세톤혼합트랩을使用하여水分과불순물을제거하였다. CO는純度 99.9%인울산종합가스상사의製品을그대로使用하였고, NO는이미報告된方法[19]대로實驗실에서製造하여액체질소트랩과액체질소-아세톤혼합트랩을使用하여물과불순물을제거하였다.

混合觸媒는 다음과 같은方法으로만들어졌다. 2.27g의 $\text{Cr}(\text{NO}_3)_3 \cdot 9\text{H}_2\text{O}$ 를 500mL의증류수에녹여만든溶液에 5%의 NH_4OH 水溶液을가하여pH가 7이될때까지 $\text{Cr}(\text{OH})_3$ 를침전시킨다. 그리고 135g의 Sodium Silicate를 5N의 질산 500mL에 녹이고 1N의 NaOH를가하여pH가 7이될때까지 시리카겔을침전시킨다. 이침전된시리카겔製造時 불순물로含有되어있는 Na^+ 이온을제거하기위하여 5%의뜨거운 NH_4NO_3 수용액과뜨거운증류수로각각 10번씩洗滌하였다. 이렇게만들어진 $\text{Cr}(\text{OH})_3$ 침전물과시리카겔

침전물을잘混合한뒤,濾過하고成形하여乾燥시킨다. 이觸媒를 M-catalyst로表記한다.

含沈觸媒는 다음과같이製造되었다. 0.3g의 CrO_3 를증류수 10mL에녹여만든solution을混合觸媒製造時만들어진 9.7g의시리카겔에含沈시킨다. 이含沈物을成形하고乾燥한후공기중에서500°C로2시간동안燒成하였다. 이觸媒를 I-catalyst로表記한다.

共沈觸媒는 다음과같이製造되었다. 5N의질산 500mL에 2.27g의 $\text{Cr}(\text{NO}_3)_3 \cdot 9\text{H}_2\text{O}$ 를녹인다. 135g의Sodium Silicate를증류수 400mL에녹인뒤,앞의크롬용액을0°C에서천천히가하면서잘攪拌하고12시간동안방치한다. 그후에60°C에서 NH_4OH 수용액을pH가7이될때까지가하여동시침전시킨다. 그리고이침전물을濾過,成形,乾燥한후에 Na^+ 이온을除去하기위하여뜨거운5%의 NH_4NO_3 수용액으로10번洗滌한후乾燥하였다. 이觸媒를 C-catalyst로表記한다.

위와같은방법으로만들어진觸媒는여러온도에서1시간동안진공처리하여使用하였다.

2-2. 實驗방법

赤外線스펙트럼은Jasco Model A-202 double beam spectrophotometer로얻었다. 加熱用IR Gas-cell은Pyrex 유리로製作하여[21]使用하였으며약430°C까지가열진공할수있었다. 그리고觸媒속에있는Na의定量은1N의HCl수용액으로 Na^+ 이온을抽出하여Shimazu AA-610 Atomic Absorption Spectrophotometer로分析하였다.

觸媒의活性測定은먼저0.1g의觸媒를反應管에넣고電氣爐로서일정한真空溫度를維持하면서한시간동안真空시킨후,전부피56mL의閉鎖反應系에서수행되었다. 반응온도는20°C였으며에틸렌의초기압력은300torr였다.

3. 結果 및 考察

3-1. 촉매활성

觸媒製造法에따른重合活性을調查해본結果, Fig. 1에나타난바와같이混合觸媒는단순한吸着으로인한에틸렌의壓力減少이외에는pressure減少가없었으며共沈觸媒와含沈觸媒는단순한吸着이후에도反應으로인하여에틸렌의pressure이계속reduced하였다. 따라서本研究에서는뚜렷한觸媒活性을보이는共沈觸媒

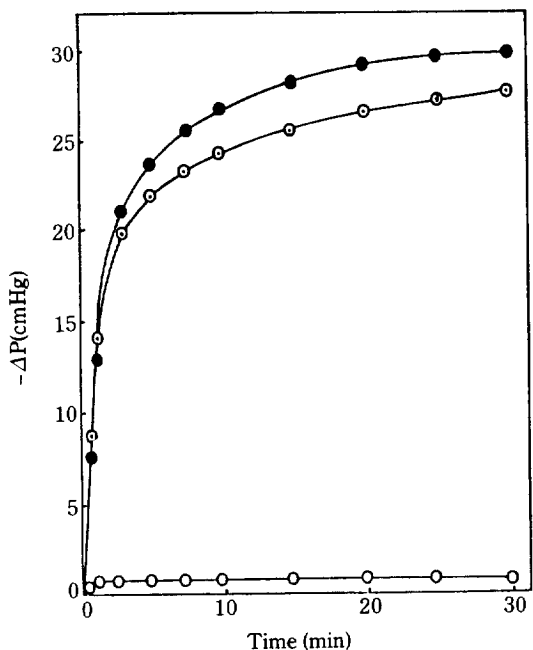


Fig. 1. Time course of ethylene polymerization.

Initial pressure: 300 torr

Reaction temperature: 20°C

Amount of used catalyst: 0.1g

● : C-catalyst evacuated at 600°C

◎ : I-catalyst evacuated at 600°C

○: M-catalyst evacuated at 600°C

와 含沙觸媒에 대해서 集中的으로 研究하였다.

觸媒活性을 보이는 共沈觸媒와 合沈觸媒는 反應 初期에서는 급격한 에틸렌 壓力減少를 보이나 時間이 점차 經過함에 따라서 완만한 壓力減少를 보이므로 本 論文에서는 初期 5분간의 에틸렌 소모량을 觸媒活性의 尺度로 했다.

실제로 에틸렌의壓力減少는反應에 의한 것 뿐만 아니라 단순한吸着에 의해서도 일어나므로活性이 전혀 없는狀態인室溫에서眞空한觸媒의 단순한吸着量만測定하여 Fig. 2에 나타내었다.

共沈觸媒의 吸着量은 1.38 ml/g , 含沈觸媒는 1.09 ml/g , 그리고 混合觸媒는 0.92 ml/g 이었다. 이 量들은 活性의 測度로 했던 初期 5분간의 反應으로 소모된 에틸렌의 量에 비하여 무시할 수 있는 量이었다. 室溫에서 真空한 混合觸媒의 에틸렌 吸着量이 600°C 에서 1시간동안 真空한 混合觸媒의 에틸렌 소모량과 일치하였으므로 混合觸媒는 단순한 吸着만 할 뿐, 에틸렌중합觸媒活性은 없었다.

그리고 이들 觸媒의 表面積을 BET方法에 의하여 액

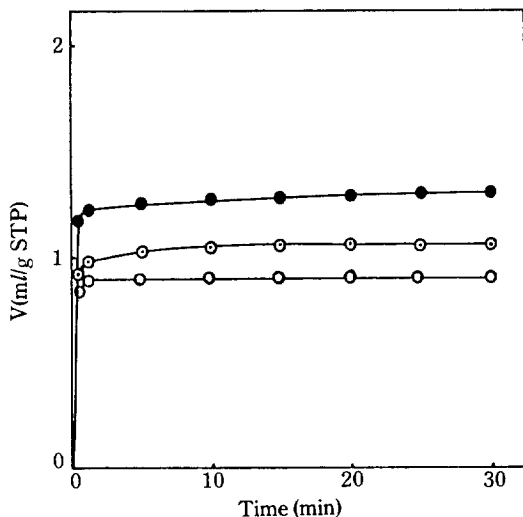
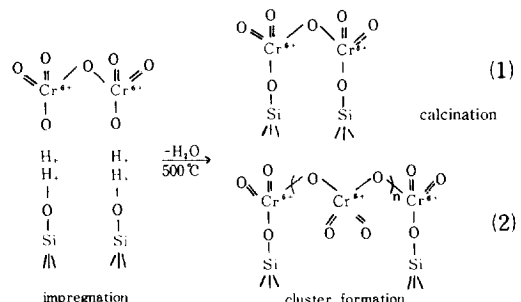


Fig. 2. Amount of ethylene adsorbed on the cata-
lyst.

●: C-catalyst, ⊙: I-catalyst, ○: M-catalyst

체질소의 温度 (-196°C)에서 질소가스의 吸着量을 測定하여 구하였다. 共沈觸媒의 表面積은 $480\text{m}^2/\text{g}$ 이 있고, 含沈觸媒는 $435\text{m}^2/\text{g}$ 이었다. 따라서 共沈觸媒의 단순 吸着量이 더 큰 것은 共沈觸媒의 表面積이 含沈觸媒보다 더 넓기 때문인 것으로 보여진다.

含沈觸媒를 500°C에서 真空할 때 脱水되면서 觸媒 表面相(1)이 生成된다. 그러나 이때에 脱水가 잘 되지 않거나 급작스럽게 加熱되면 (2)의 構造와 같은 산화크롬--고증합체로 크라스터화(Clustering)된다[13, 15].



그리고 이 크라스터화된觸媒는觸媒活性이 크게減少되었으며,混合觸媒가觸媒活性을 나타내지 않는 것도 이와 같은原因으로 생각된다.

共沈觸媒와 含沈觸媒를 여러 온도에서 진공소성하였을 때의 觸媒活性을 Fig. 3에 나타내었다. 共沈觸媒는 300°C에서부터活性을 나타내기 위하여 600°C에서最大의活性을 나타내고 그 이상의 온도에서는減少되었

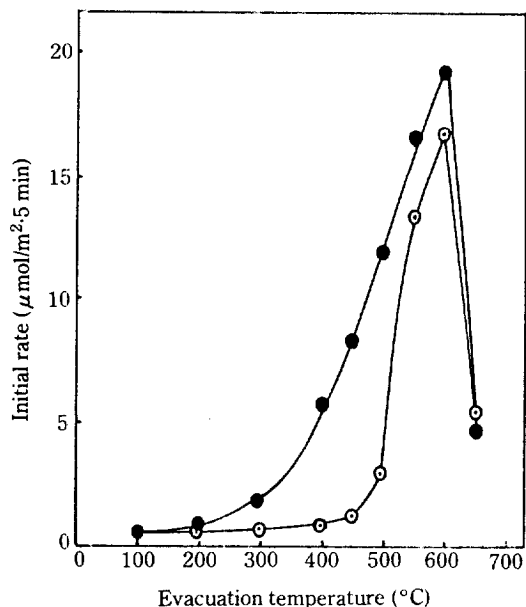


Fig. 3. Variations of polymerization activity with evacuation temperature.

● : C-catalyst, ○ : I-catalyst

다. 合沈觸媒는 450°C부터 活性을 나타내기 시작하여 600°C에서 最大의活性를 보인 후에 減少되었다. 觸媒가 600°C에서 真空處理하였을 때에 最大의活性를 나타내었으므로 觸媒活性點은 脫水分解에 의해서 +6價보다 낮은 酸化狀態인 크롬이온으로 생각된다. 그리고 600°C 이상의 高溫에서 오히려活性가 減少되는 것은 크롬의 酸化狀態가活性點의 酸化狀態보다 더 낮은 酸化狀態로 됨과 아울러 高溫處理에 의한 燒結로 떨어짐과 表面積이 減少되어活性點의 數가 減少되었기 때문이다.

3-2. CO還元처리 효과

그리고 觸媒의活性點을 더욱 조사하기 위해 觸媒를 高溫에서 1시간동안 真空한 뒤에 CO가스로 300°C에서還元處理하고 觸媒活性를 알아보았다. Fig. 4는 CO還元處理時間에 대한 共沈觸媒와 合沈觸媒의活性를 나타낸 것이다.

500°C에서 1시간동안 真空處理된 合沈觸媒는還元後에 따라 觸媒의活性가增加하기 시작하여 45분에서 最大의活性를 보이고 그 이상으로還元될 때에는 오히려減少하였다. 그러나 最大活性條件인 600°C에서 真空處理된 合沈觸媒는 CO가스로還元하자 즉시活性이 크게 減少되었다. 또한 最大活性條件인 600°C에서 真

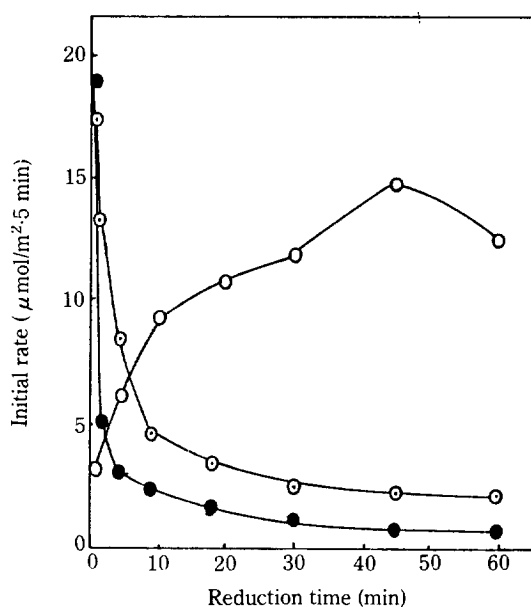


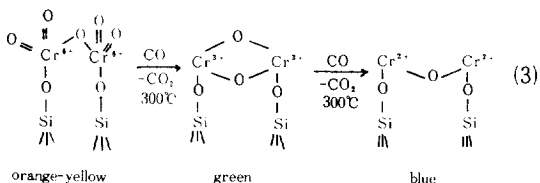
Fig. 4. Variations of polymerization activity with reduction time.

○ : I-catalyst evacuated at 500°C
○ : I-catalyst evacuated at 600°C
● : C-catalyst evacuated at 600°C

空處理된 共沈觸媒는 CO가스로還元後에 따라 合沈觸媒보다 더욱 급격히活性가 減少되었다. 500°C로活性化處理된 合沈觸媒가還元後에 따라 初期에活性가增加되는 것은 Cr^{6+} , Cr^{5+} , Cr^{4+} , 이온들이活性點으로 예상되는 Cr^{3+} 이온으로還元되기 때문으로 보여지며, 60분동안還元하였을 때에活性가 오히려 減少하는 것은活性點인 Cr^{3+} 이온이 Cr^{2+} 이온으로還元되어活性點의數가 減少되기 때문인 것으로 생각된다. 이것은 600°C에서活性化處理된 共沈觸媒와 合沈觸媒의活性이 25분의 짧은 시간동안還元될 때 크게活性가 減少되는 것으로 보아 더욱 분명하다. 또한 共沈觸媒의活性가 合沈觸媒의活性보다 더욱 급격히 減少됨은 +3價이상의 Cr 이온이 合沈觸媒에 더 많기 때문으로 생각된다.

산화크롬-シリカ觸媒의酸化狀態가 Cr^{6+} 이온에서 Cr^{2+} 이온으로變化됨에 따라豫想되는触媒의構造 [15]를 (3)에 나타내었다. 또한本實驗에서最大의活性를 나타낼 때의触媒색깔은綠色이었으며, 이 상태의触媒를 CO가스로 더욱還元함에 따라触媒의색깔이 점차青色으로변화됨과 동시에触媒活性도 減少되었다 [2, 6, 13, 15].

따라서 촉媒의活性點은 Cr^{3+} 이온으로 생각된다.



3-3. 흡착종의 적외선 spectra

그리고 촉媒의活性點에 대해 더욱 자세히 알아보기 위하여 촉媒를高溫에서真空한 뒤에, NO가스 및 CO가스를 촉媒에吸着시켰다. 또한活性化處理된 촉媒를 다시酸化 및還元處理한 후 NO가스와 CO가스를吸着시켜, 이吸着種을赤外線스펙트로로調査하였다.

먼저 이를 CO가스와 NO가스가活性點에吸着되는가를 알아보기 위하여共沈触媒를最大活性을 나타내는 600°C 에서真空處理한 후에室溫에서CO가스와NO가스를각각吸着시킨뒤에触媒活性이나타나는가를調査하였다. CO가스 1Torr을共沈触媒에吸着하였을때에活性이완전히없어졌으나室溫에서5분간真空하

였을때CO가脫着되면서다시活性이나타났다. 이는CO가活性點에약하게吸着되어있음을보여준다. Fig.5는活性化 및酸化,還元處理된共沈触媒에室溫에서CO가스를吸着시켰을때의赤外線스펙트라이다. 그리고이때CO가약하게吸着되어있어서真空脫氣를하지않았다.

여러개의CO吸收띠가 $2190, 2173, 2160, 2150, 2127, 2113$ 그리고 2083cm^{-1} 에각각나타났으며[3, 6, 13, 14], CO가스의壓力이增加함에따라吸收띠의强度는增加되었다. 그러나Fig.5에서보는바와같이CO吸收띠가複雜하게나타났으며,酸化 및還元處理에따른吸收띠의변화가분명하지않았다. 따라서CO吸着種의赤外線스펙트라이에의한活性點研究는보고[3, 6, 13, 14]에의한것같이밝혀지지않았다. 또한含沈触媒에대한CO가스吸着스펙트럼도共沈触媒와같아서活性點을밝힐수는없었다.

触媒에NO가스를吸着시켰을때에는CO가스와는달리触媒를真空하여도吸着된NO가완전히脫着되지않았으며,이때触媒는전혀活性이없었다. 따라서NO는活性點에吸着되어있으며CO보다더강하게吸着되어있음을알수있다. 그리고NO吸着스펙트럼은触媒에NO가스를吸着시킨뒤5분간vacuum脫氣한후에赤外線스펙트럼을얻었다. 이것은氣體相(gas phase)의NO에의한吸收띠를제거하기위함이었다.

Fig.6은 550°C 에서活性化되고,또한 300°C 에서酸化 및還元處理된共沈触媒를室溫에서NO가스를吸着,脫氣하였을때의赤外線스펙트럼이다. Fig.6은NO基의伸縮振動領域($2000\sim1600\text{cm}^{-1}$)만나타내었다. 1620cm^{-1} 와 $1880\sim1820\text{cm}^{-1}$ 에나타나는넓은吸收띠는 SiO 伸縮振動[5, 12, 13, 15]의倍振動(over-tone)에의한것으로,여러실라카답체금속에서도발견되었다. 1875cm^{-1} 와 1760cm^{-1} 에나타나는吸收띠는 Cr^{3+} 이온에NO가 $\text{Cr}^{3+}(\text{NO})_2$ 形態로吸着되었을때생기는NO基의非對稱伸縮振動과對稱伸縮振動에의한것이며,이吸收띠들과거의重疊되어나타나는 1860cm^{-1} 와 1750cm^{-1} 의吸收띠는 Cr^{2+} 이온에 $\text{Cr}^{2+}(\text{NO})_2$ 의形態로吸着된NO基의伸縮振動에의한것이다. 또한 1800cm^{-1} 에나타나는吸收띠는 Cr^{2+} 이온에 $\text{Cr}^{2+}(\text{NO})$ 形態로吸着된單分子NO基의伸縮振動에의한것으로생각된다. 즉NO分子가(4)와같이触媒[16]에吸着되어있다고생각된다.

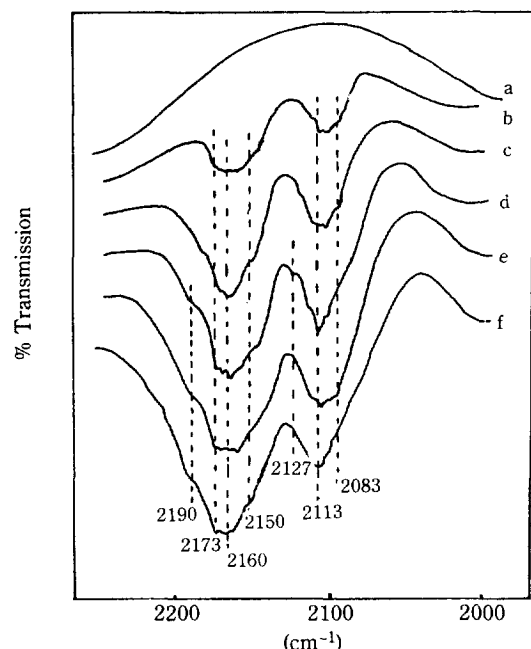
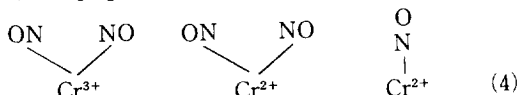


Fig. 5. IR spectra of CO adsorbed on C-catalyst.
a: back ground; 50 torr, 100 torr, and 180 torr of CO were introduced for b, c, and d, respectively, e: 180 torr of CO was introduced after reducing with CO at 300°C , f: 180 torr of CO was introduced after oxidizing with O_2 at 300°C .

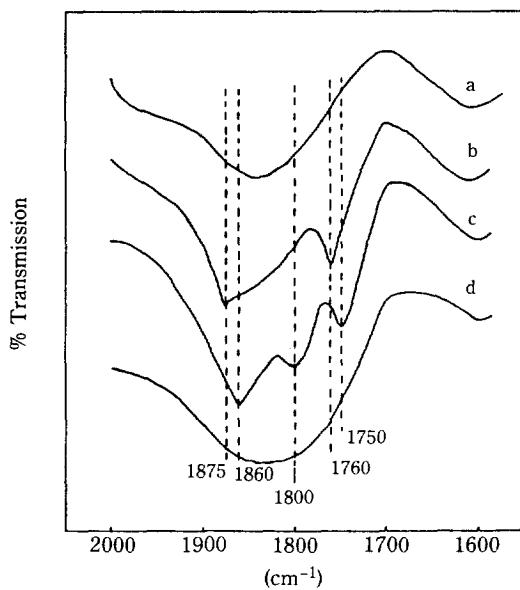


Fig. 6. IR spectra of NO adsorbed on C-catalyst.
a: back ground, b: 120 torr of NO was introduced, c: 120 torr of NO was introduced after reducing with CO at 300°C, d: 120 torr of NO was introduced after oxidizing with O₂ at 300°C.

그리고 앞의 吸收띠들은 Zecchina와 Beck[7, 8, 10-14, 16, 18] 등이 산화크롬-시리카觸媒에 NO가스를 吸着시켜서 얻은 NO基의吸收띠와 잘 일치하였다.

Fig. 6에서 보는 바와 같이 550°C에서 1시간동안 진공한 共沈觸媒에 NO가스를 吸着, 脫氣하였을 때에는 Cr³⁺ 이온에 NO가 吸着되어 1875~1760 cm⁻¹에吸收띠가 크게 나타났다. 그리고 CO가스로 觸媒가還元됨에 따라 Cr²⁺ 이온에 NO가 吸着되어 나타나는 1860~1750 cm⁻¹吸收띠와 1800 cm⁻¹吸收띠를 새로觀察할 수 있었다. 그리고 1875~1760 cm⁻¹吸收띠는減少되었다. 또한 Fig. 6의 d와 같이 共沈觸媒를 O₂로酸化할 때에 Cr³⁺ 이온과 Cr²⁺ 이온에 吸着된 NO吸收띠는 모두 없어졌다. Fig. 7은 앞의 共沈觸媒와 같이活性화 및 酸化, 還元處理된 含沈觸媒에 NO를 주입하였을 때 吸着된 NO基의 赤外線 스펙트럼이다.

共沈觸媒에서와 類似하게 含沈觸媒에서도 550°C로真空處理되었을 때에 Cr³⁺ 이온에 Cr³⁺(NO)₂形態로吸着된 NO基의吸收띠가 1875~1760 cm⁻¹에 나타났다. 그리고 還元될 때에는 Cr²⁺ 이온에 Cr²⁺(NO)₂形態로吸着된 1860~1750 cm⁻¹吸收띠와 Cr²⁺(NO)形態로吸着된 1800 cm⁻¹吸收띠가 나타났다. 그리고 Cr³⁺ 이온에吸着된 NO吸收띠는減少되었다. 또한

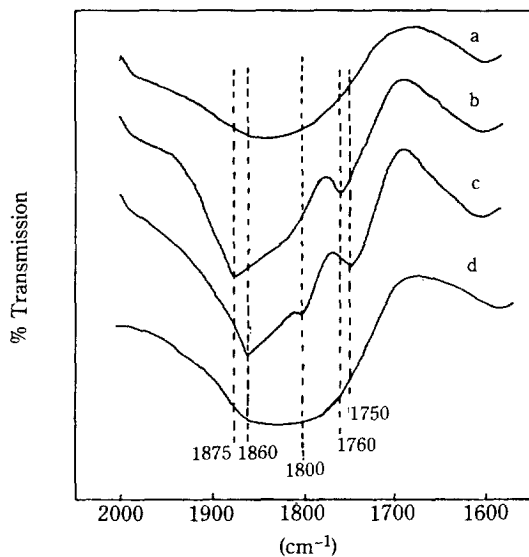


Fig. 7. IR spectra of NO adsorbed on I-catalyst.
a: back ground, b: 120 torr of NO was introduced, c: 120 torr of NO was introduced after reducing with CO at 300°C, d: 120 torr of NO was introduced after oxidizing with O₂ at 300°C.

酸化處理될 때에 Cr³⁺ 이온과 Cr²⁺ 이온에吸着된吸收띠들은 모두 없어졌다. 이상의 진공, 산화, 환원처리된 촉매상에 흡착된 NO중의 적외선 spectra의 변화, Fig. 4에 나타난 화학처리된 촉매상에서의 에틸렌 중합활성의 변화, 그리고 최고 촉매활성을 나타내는 600°C에서 촉매를 진공하였을 때 촉매의 색깔이 녹색인 점등으로부터 에틸렌 중합을 위한 크롬-시리카촉매의 활성점은 Cr³⁺임을 알 수 있다.

그리고 에틸렌의重合으로生成된 폴리에틸렌의赤外線 스펙트럼을 일어보았다. 폴리에틸렌의 -CH₂-基에의한吸收띠가 2919, 2850, 1473, 1463, 730, 719 cm⁻¹에각각나타났으며, 말단비닐기에의한吸收띠가 910 cm⁻¹에, -CH₃基에의한吸收띠가 1377 cm⁻¹에약하게나타났다[2, 5].

3-4. Na의 촉매독 효과

Na의觸媒毒效果를 알아보기 위하여 Na 함량에 따른觸媒活性을測定하여 Fig. 8에 나타내었다. 觸媒에含有된 Na의量에 따라觸媒活性이급격히減少되었으며, Na가 20 ppm일 때触媒는 전혀活性을 나타내지 않았다. 그러나本實驗에서使用的共沈觸媒와含沈觸媒는 Na의含量이 0.1 ppm이하이었으므로活性에影響을주지 않았다.

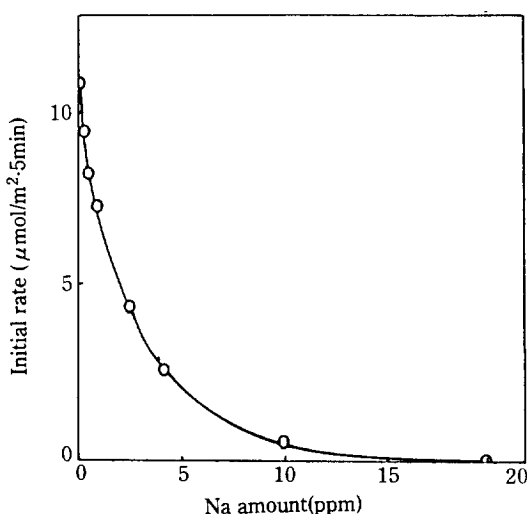


Fig. 8. Catalytic activity of C-catalyst as a function of Na content.
Catalyst was evacuated at 500°C.

에틸렌의重合活性은初期에틸렌의壓力에도影響을 받으므로壓力의變化에 따른觸媒活性을Fig. 9에 나타내었다. 이때触媒는 600°C에서 1시간 真空한共沈触媒를使用하였다. 重合速度와에틸렌의壓力사이에는直線關係가주어졌으며400Torr의pressure에서는오히려活性이조금減少하였는데,이는生成된고분자가触媒의活性點을封鎖(blocking)하기때문[5, 9, 17]으로

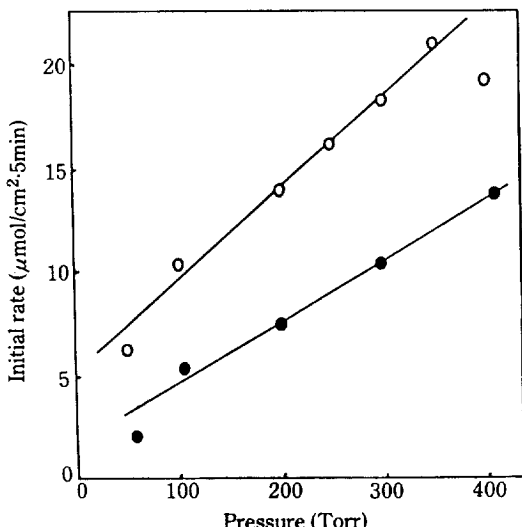


Fig. 9. Polymerization activity as a function of initial ethylene pressure.
●: C-catalyst evacuated at 450°C, ○: C-catalyst evacuated at 600°C.

로 생각된다.

4. 結論

에틸렌重合觸媒인 산화크롬-시리카触媒를混合法, 合沈法, 共沈法으로製造하여重合活性을調查해 본結果混合触媒는活性이전혀없었으며, 共沈触媒보다触媒活性이더좋았다. 그리고600°C에서1시간真空處理할때最大의活性을나타내었다.触媒를CO로還元處理하였을때의触媒活性의變化와触媒의색깔변화, 그리고触媒表面에吸着된NO種의赤外線研究로触媒活性點은Cr³⁺이온임이判明되었다. 그리고触媒는Na이온으로被毒되었으며,触媒의致死量은20ppm이었다.

감사

본연구의 일부는 경북대학교 학술진흥재단 연구비로 수행되었으며 이에 대하여 사의를 표합니다.

REFERENCES

- Miesserov, K.G.: *J. Polym. Sci. A-1*, 3047 (1966).
- Hogan, J.P.: *J. Polym. Sci.*, **8**, 2368 (1970).
- Borello, E., Zecchina, A., Morterra, C. and Ghiootti, G.: *J. Phys. Chem.*, **73**, 1286 (1969).
- Clark, A.: *Catal. Rev.*, **3**, 145 (1969).
- Eley, D.D., Rochester, C.H. and Scurrell, M.S.: *J. Chem. Soc. London. A.*, **329**, 361 (1972).
- Eley, D.D., Rochester, C.H. and Scurrell, M.S.: *J. Catal.*, **29**, 20 (1973).
- Eley, D.D., Rochester, C.H. and Scurrell, M.S.: *Faraday Trans. I.*, **69**, 660 (1973).
- Kazansky, V.B. and Boreskov, G.K.: *Kinetika Kataliz*, **5**, 434 (1964).
- Tvarůžková, Z. and Wichterlová, B.: *J. Chem. Soc., Faraday Trans. I.*, **79**, 1591 (1983).
- Przhevalskaya, L.K., Schvets, V.A. and Kazansky, V.B.: *J. Catal.*, **39**, 363 (1975).
- Pearce, J.R., Sherwood, D.E., Hall, M.B. and Lunsford, J.H.: *J. Phys. Chem.*, **84**, 3215 (1980).
- Beck, D.D. and Lunsford, J.H.: *J. Catal.*, **68**, 121 (1981).
- Zecchina, A., Garrone, E., Ghiootti, G., Morterra, C. and Borello, E.: *J. Phys. Chem.*, **79**, 968, 972, 978, 984 (1975).
- Peri, J.B.: *J. Phys. Chem.*, **78**, 588 (1974).
- Groeneveld, C., Wittgen, P.P.M.M., van Kersber-

- gen, A.M., Mestron, P.L.M., Nuijten, C.E. and Schuit, G.C.A.: *J. Catal.*, **59**, 153 (1979).
16. Ghiootti, G., Garrone, E., Gatta, G.D., Fubini, B. and Giamello, E.: *J. Catal.*, **80**, 249 (1983).
 17. Groeneveld, C., Wittgen, P.P.M.M., Lavrijsen, J.P.M. and Schuit, G.C.A.: *J. Catal.*, **82**, 77 (1983).
 18. Kugler, B.L., Kadet, A.B. and Gryder, J.W.: *J. Catal.*, **41**, 72 (1976).
 19. Fernelius, L.F.A., Bailar, J.C., Johnson, W.C. and Schumb, W.C.: "Inorganic Synthesis", **2**, 126 (1946).
 20. Sohn, J.R. and Park, H.B.: *J. Korean Chem. Soc.*, **26**, 282 (1982).
 21. Anderson, R.B.: "Experimental Method in Catalytic Research", Academic Press, New York, pp. 347 (1968).
 22. Ayscough, P.B., Eden, C. and Steiner, H.: *J. Catal.*, **4**, 278 (1965).
 23. Clark, A.: Symposium at the 155th Meeting of the American Chemical Society, Adv. Chem. Ser., **91**, 387 (1969).